

В.Г. Кравець, д.т.н., проф.

Т.В. Косенко, інж.

Національний технічний університет України "КНІТ"

ЧИСЕЛЬНЕ МОДЕЛЮВАННЯ ДИНАМІЧНОЇ ПОВЕДІНКИ ЦИЛІНДРИЧНИХ ОБОЛОНОК ПОДОВЖЕНИХ ШНУРОВИХ ЗАРЯДІВ З ПОВІТРЯНОЮ ПОРОЖНИНОЮ

Розроблена методика чисельного моделювання динамічної поведінки циліндричних оболонок подовжених шнуркових зарядів з повітряною порожниною, що дозволяє визначити необхідні параметри оболонок і передбачити результати вибухової післядії.

Для передачі вибухового імпульсу на потрібні відстані з надійним захистом оточуючого середовища і живих організмів часто використовують подовжені заряди з повітряною порожниною, що утворюється між захисною циліндричною оболонкою і розташуванням вздовж її осі шнурковим зарядом типу детонуючого шнуря (ДШ).

Основним завданням дослідження є визначення геометричних і фізико-механічних параметрів оболонки, що похибка повинна надійно забезпечувати захист від нікідливого впливу вибуху. Розглянемо випадок, коли на осі оболонки вибуває шнурковий заряд. Повітряна оболонка утворюється між зовнішньою поверхнею шнуркового заряду і внутрішньою поверхнею циліндричної оболонки розміром r_{10} (рис. 1), котрий визначає максимальний радіус повітряної порожнини. Оскільки в цьому випадку конструкція циліндричної оболонки і вибухове навантаження від шнуркового заряду, що діє на неї, є осесиметричними, осесиметричним є і поле розповсюдження вибухових хвиль.

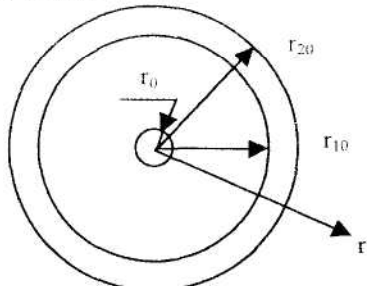


Рис. 1. Схема заряду з оболонкою

Для дослідження заряду такої конструкції будемо застосовувати теорію циліндричних оболонок в осесиметричній постановці. Відповідні рівняння можна представити у вигляді [1]:

$$\begin{aligned} \rho_1 h \frac{\partial^2 u_1}{\partial t^2} - \frac{\partial N_1}{\partial x} &= 0, \\ \rho_1 h \frac{\partial^2 u_n}{\partial t^2} - \frac{\partial Q}{\partial x} - \frac{N_2}{R} &= P_n, \\ \rho_1 h \frac{\partial^2 \psi}{\partial t^2} - Q + \frac{\partial M}{\partial x} &= 0, \end{aligned} \quad (1)$$

де $h = r_{20} - r_{10}$, $R = (r_{20} + r_{10})/2$;

N_1 , N_2 – внутрішні зусилля в оболонці в поздовжньому і радіальному напрямах;

x – координата вздовж утворюючої оболонки;

Q – перерізаюча сила в перерізі $x = \text{const}$;

M – згинальний момент у тому ж перерізі;

ψ – кут повороту перерізу;

u_1 , u_n – компоненти вектора переміщення вздовж осі x і по нормальні до неї;

p_n – навантаження від вибуху шнуркового заряду;

t – час.

Внутрішні зусилля N_1 , N_2 , що входять у рівняння (1), згинальний момент M і перерізаюча сила Q визначаються таким чином:

$$\begin{aligned} N_1 &= \frac{Eh}{1-v^2} \left(\frac{\partial u_1}{\partial x} - v \frac{u_n}{R} \right), \\ N_2 &= \frac{Eh}{1-v^2} \left(-\frac{U_n}{R} + v \frac{\partial u_1}{\partial x} \right), \\ M &= -\frac{Eh^3}{12(1-v^2)} \frac{\partial \psi}{\partial x}, \\ Q &= Gh \left(\frac{\partial W}{\partial x} - \psi \right), \end{aligned} \quad (2)$$

де $G = \frac{E}{2(1+v)}$ – модуль зсуву.

Розглянемо випадок, коли край оболонки, біля якого почалась детонація, вільний: $N_1 = M = Q = 0$, а в точці детонації шнуркового заряду жорстко защемлений: $\psi = u_1 = u_n = 0$. Початкові умови нульові.

Чисельний метод розв'язку рівнянь руху циліндричної оболонки (1) ґрунтуються на застосуванні інтегро-інтерполяційного методу побудови кінцево-різничних схем другого порядку точності за часовою і просторовою координатами [2]:

$$\begin{aligned} \left[\left(N_1^i \right)_{k+1}^j \right]_{x_i} &= \rho_1 h \left[\left(u_1^i \right)_k^j \right]_n, \\ \left[\left(Q^i \right)_{k+1}^j \right]_{x_i} + \frac{1}{R} \left(N_2^i \right)_k^j + \rho_{nk}^j &= \rho_1 h \left[\left(u_n^i \right)_k^j \right]_n, \\ -\left[\left(M^i \right)_{k+1}^j \right]_{x_i} + \left(Q^i \right)_k^j &= \rho_1 \frac{h^3}{12} \left[\left(\psi^i \right)_k^j \right]_n, \end{aligned} \quad (3)$$

(в k -тому вузлі просторової координати x_i і на j -тому часовому шарі).

Такий підхід дозволяє зберегти дивергентну форму різничного представлення рівнянь (3) і, отже, – виконання закону збереження повної механічної енергії системи на різничному рівні. Різничні вирази для зусиль-моментів і відповідних величин деформацій, а також вирахування різничних похідних за просторовою і часовою координатами виконані відповідно до [2].

Враховуючи, що застосовується явна кінцево-різнична схема, при розрахунках різничні кроки вибиралися виходячи з умови $\Delta t = K \Delta s / c_{II}$, де $c_{II} = E / [\rho (1-v^2)]$, K – число Куранта, Δt – кроки за часом, Δs – крок за відстанню. При розрахунках вважалось: $K = 0,3-0,5$, виходячи з практичної збіжності результатів.

Проведемо чисельне моделювання механічної поведінки циліндричних зарядів, оболонки яких виконані з пружно-пластичних матеріалів: міді, алюмінію і поліетилену з тими ж геометричними розмірами, що розглядались вище. В цьому випадку:

$h_1 = 0,0105 \text{ м} - 0,01 \text{ м} = 0,0005 \text{ м}; \quad R_1 = (0,0105+0,01)/2 = 0,01025 \text{ м};$
 $h_2 = 0,011 \text{ м} - 0,01 \text{ м} = 0,001 \text{ м}; \quad R_2 = (0,011+0,01)/2 = 0,0105 \text{ м};$
 $h_3 = 0,0115 \text{ м} - 0,01 \text{ м} = 0,0015 \text{ м}; \quad R_3 = (0,0115+0,01)/2 = 0,01075 \text{ м};$
 $h_4 = 0,012 \text{ м} - 0,01 \text{ м} = 0,002 \text{ м}; \quad R_4 = (0,012+0,01)/2 = 0,011 \text{ м}.$

Як шнурковий заряд, розташований вздовж осі оболонки, виберемо детонуючий шнур марки ДШ-А з теновою серцевиною при витраті 12 г/п.м. Навантаження на оболонку p_n , яку виконує миттєвий вибух такого шнуркового заряду в повітряній порожнині, визначимо виходячи з емпіричних залежностей [3]:

$$p_n = 10,2 \frac{c}{r^2} + 2 \frac{c^{3/8}}{r^{3/4}}, \quad (4)$$

Тиск, згідно з експериментальними даними [3], з часом зменшується за експонентою, а загальна тривалість його дії не перевищує величини $\tau = r_0/c_0$ [4], де r_0 – радіус заряду ($r_0 = 0,004 \text{ м}$), $c_0 = 340 \text{ м/с}$ – швидкість звуку в повітрі, звідки $\delta \leq 1,176 \times 10^{-5} \text{ с}$.

Результати чисельного моделювання показують, що за допомогою подовжених зарядів досліджуваної конструкції вибуховий імпульс можна передати на потрібну відстань з надійним захистом оточуючого середовища від вибухових хвиль.

Проведемо оцінку міцності мідної, алюмінієвої і поліетиленової оболонок згідно з [5] за критичними деформаціями. Для циліндричних оболонок під дією внутрішнього тиску p , величина якого визначається згідно з [3], умова, що матеріал оболонки працює в пружній зоні, може бути записано у вигляді [5]:

$$\varepsilon_{\max} = \frac{k_d p R_i}{h_i E_i} < 0,3\%, \quad (5)$$

де k_d – коефіцієнт динамічності, який дорівнює 2.

Результати розрахунку мідної, алюмінієвої і поліетиленової оболонок різних геометричних розмірів наведені в табл. 1, де дано залежності максимальних окружних деформацій ε_{\max} від характерних параметрів вказаних оболонок h_i / R_i .

Таблиця 1

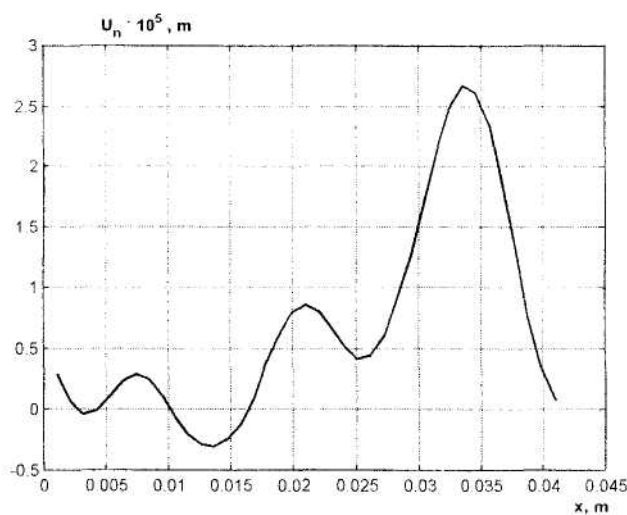
Результати розрахунків оболонки різних геометричних розмірів

i	h_i / R_i	Mідь	Алюміній	Поліетилен
		$\varepsilon_{\max}, \%$	$\varepsilon_{\max}, \%$	$\varepsilon_{\max}, \%$
1	0,049	0,404	0,722	3,230
2	0,095	0,207	0,396	1,655
3	0,140	0,141	0,270	1,129
4	0,182	0,108	0,207	0,867

Згідно з числовими даними, отриманими з (1) і наведеними в таблиці, випливає, що для мідної оболонки: $h_i / R_i \geq 0,095$, для алюмінієвої: $h_i / R_i \geq 0,140$, для поліетиленової: $h_i / R_i \geq 0,2$.

Дослідимо більш детально коливально-хвильові процеси в оболонках з такими параметрами за допомогою числового моделювання на основі рівняння (1). В результаті числової реалізації поставленої красової задачі отримана залежність максимального нормального прогину мідної захисної оболонки U_n для $h_i / R_i = 0,095$ від координати вздовж здетонованого заряду (рис. 2). На рис. 3 наведений графік коливань вільного торця оболонки, з якого почалась детонація заряду.

Аналогічні розрахунки були проведені для алюмінієвої ($h_i / R_i = 0,140$) і поліетиленової ($h_i / R_i = 0,2$) оболонок, результати яких наведені на рис. 4–7 відповідно.

Рис. 2. Зміна величини U_n вздовж мідної оболонки

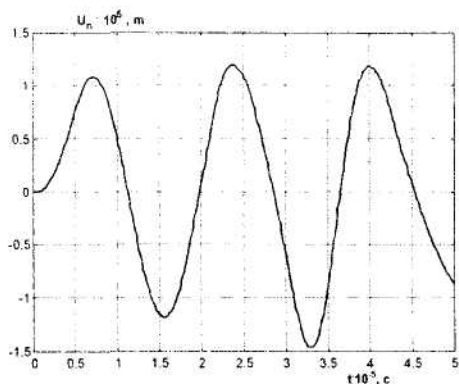


Рис. 3. Залежність величини U_n від часу t на вільному торці мідної оболонки $x = 0$

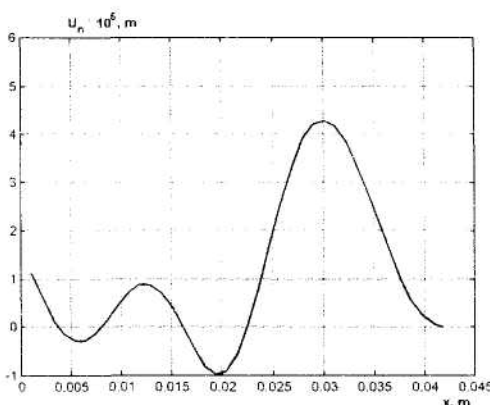


Рис. 4. Зміна величини U_n вздовж алюмінієвої оболонки

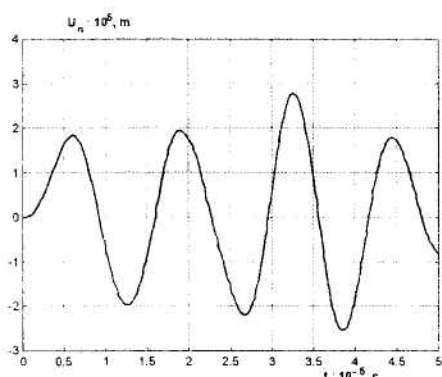


Рис. 5. Залежність величини U_n від часу t на вільному торці алюмінієвої оболонки $x = 0$

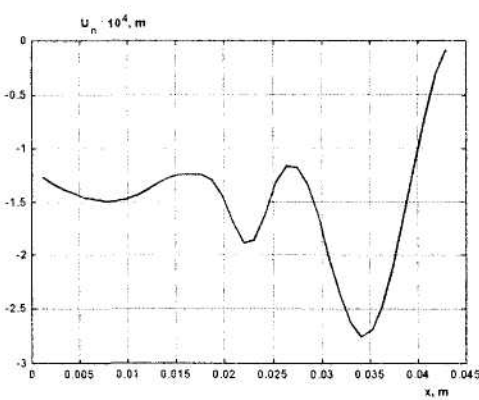


Рис. 6. Зміна величини U_n вздовж поліетиленової оболонки

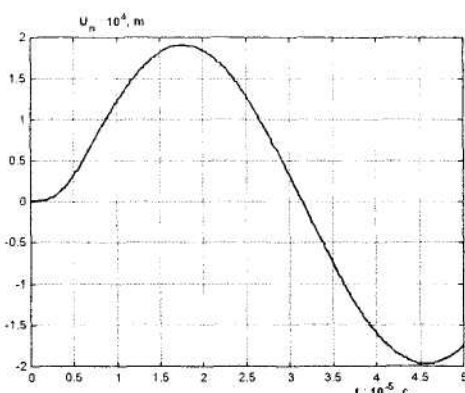


Рис. 7. Залежність величини U_n від часу t на вільном торці поліетиленової оболонки $x = 0$

З графіків випливає, що максимальні прогини і мінімальна частота коливань властиві поліетиленовій оболонці, що відповідає її фізико-механічним властивостям.

Розглянуті вище конструкції зарядів хоч і складні у виготовленні, проте часто використовуються в техніці, в пристроях і конструкціях, де виникає необхідність передати вибуховий імпульс через середовище з живими організмами або через відсіки з чутливими приладами. Розроблена в даній статті методика числового моделювання дії таких зарядів дозволяє визначити необхідні параметри захисних оболонок і передбачити результати вибухової післядії.

ЛІТЕРАТУРА:

1. Луговой П.З., Мукоуд В.П., Мейш В.Ф. Динамика оболочных конструкций при взрывных нагрузках. К.: Наукова думка, 1991. – 280 с.
2. Самарский А.А. Теория разностных схем. – М.: Наука, 1977. – 656 с.
3. Цикулин М.А. Воздушная ударная волна при взрыве цилиндрического заряда большой длины // ПМТФ. – 1960. – №3. – С. 188–193.
4. Баум Ф.А., Огненко Л.П. и др. Физика взрыва. – М.: Недра, 1975. – 704 с.
5. Сопротивление материалов / Под. ред. акад. АНКСР Г.С. Писаренко. – К.: Выща школа, 1986. – 775 с.

КРАВЕЦЬ Віктор Георгійович – доктор технічних наук, професор, завідувач кафедри геобудівництва та гірничих технологій Інституту енергозбереження та енергоменеджменту Національного технічного університету України “КПІ”.

Наукові інтереси:

– вибухові роботи.

КОСЕНКО Тетяна Володимирівна – інженер кафедри геобудівництва та гірничих технологій Інституту енергозбереження та енергоменеджменту Національного технічного університету України “КПІ”.

Наукові інтереси:

– вибухові роботи.

Подано 23.01.03